

# ΑΞΙΟΛΟΓΗΣΗ ΑΙΜΑΤΟΛΟΓΙΚΩΝ ΠΑΡΑΜΕΤΡΩΝ ΚΑΙ ΔΙΑΓΝΩΣΤΙΚΗ ΣΗΜΑΣΙΑ ΑΥΤΩΝ

## ΣΩΤΗΡΗΣ ΑΣΗΜΙΝΑΣ ΕΠΙΜΕΛΗΤΗΣ Α' ΑΙΜΑΤΟΛΟΓΙΚΟΥ ΕΡΓΑΣΤΗΡΙΟΥ Π.Γ.Ν. «ΑΣΚΛΗΠΙΕΙΟΝ» ΒΟΥΛΑΣ

Από τα τέλη του 17<sup>ου</sup> αιώνα που κατασκευάσθηκε το πρώτο μικροσκόπιο, μέχρι σήμερα, στημεώθηκε μεγάλη εξέλιξη στα όργανα παρατήρησης και μέτρησης των κυττάρων.

Τις τελευταίες δεκαετίες έγιναν προσπάθειες κατασκευής μηχανήματος που να μπείται το ανθρώπινο μάτι στο μικροσκόπιο αλλά με περισσότερες δυνατότητες, όπως η εξέταση μεγάλου αριθμού δειγμάτων και η ταχεία παραγωγή αξιόπιστων αποτελεσμάτων. Φτάσαμε έτσι σήμερα στη χρήση αυτόματων πολυπαραμετρικών αιματολογικών αναλυτών που άλλαξαν την εργαστηριακή πρακτική και προσφέρουν καλύτερες λατρικές υπηρεσίες<sup>9</sup>.

Οι αιματολογικοί αναλυτές που χρησιμοποιούνται έχουν ως γενική αρχή μέτρησης την κυτταρομετρία ροής. Πρόκειται για τεχνολογία που μετράει τα έμμορφα στοιχεία του αίματος ένα-ένα εναιωρημένα σε μία συνεχή ροή, περνώντας μπροστά από μία ευαίσθητη ζώνη μέτρησης. Το αποτέλεσμα της μέτρησης επεξεργάζεται από ηλεκτρονικό υπολογιστή και μεταφράζεται σε ψηφιακό σήμα. Αποτέλεσμα της επεξεργασίας χιλιάδων τέτοιων ψηφιακών σημάτων είναι οι παράμετροι και τα ιστογράμματα που παίρνουμε σε μία γενική αίματος<sup>9</sup>.

Η αξιοπιστία των αποτελεσμάτων είναι μεγάλη, λόγω της ισχυρής στατιστικής κατοχύρωσης των μετρήσεων, χωρίς όμως αυτό να σημαίνει απουσία σφάλματος και απόλυτη ακρίβεια, διότι αυτά εξαρτώνται από τον αναλυτή και την αρχή λειτουργίας του.

Η αυτοματοποιημένη μέτρηση των μεγεθών της γενικής αίματος, περιλαμβάνει τρία μέρη: (**Διάγραμμα 1**).

Το πρώτο μέρος αφορά τον αριθμό των λευκών αιμοσφαιρίων (WBC) ανά κυβικό χιλιοστόμετρο (K/UL), την εκατοστιαία αναλογία τους και τον απόλυτο αριθμό των πληθυσμών πολυμορφοπύρηνων λεμφοκυττάρων – μονοκυττάρων – ηωσινόφιλων – βασεόφιλων.

Το δεύτερο μέρος περιλαμβάνει: α) τον αριθμό των ερυθροκυττάρων (RBC) ανά κυβικό χιλιοστόμετρο (M/UL), β) την αιμοσφαιρίνη (HGB) σε GR/DL που εκφράζει αναλογία βάρους κατ' όγκον και δηλώνει τα γραμμάρια της αιμοσφαιρίνης που περιέχονται σε 1DL αίματος, γ) τον αιματοκρίτη (HCT) που εκφράζει την αναλογία κατ' όγκον των ερυθρών αιμοσφαιρίων προς το ολικό αίμα. Στο μέρος

αυτό προκύπτουν παραμετρικά μεγέθη που σχετίζονται με τη μορφολογία των ερυθρών αιμοσφαιρίων και είναι:

- 1) Ο μέσος όγκος (MCV) των ερυθρών αιμοσφαιρίων, είναι ο λόγος HCT/RBC και δηλώνει τη μέση τιμή του όγκου των ερυθροκυττάρων με μονάδα μέτρησης το FL ( $10^{-15}L$ ) και δείχνει την μικροκυττάρωση –μακροκυττάρωση<sup>11</sup>.
- 2) Η μέση περιεκτικότητα αιμοσφαιρίνης ανά ερυθρό (MCH) είναι ο λόγος HB/RBC και δηλώνει τη μέση τιμή της μάζας της αιμοσφαιρίνης που περιέχεται σε ένα ερυθροκύτταρο με μονάδα μέτρησης το PG ( $10^{-12}gr$ ) και δείχνει την υποχρωμία<sup>11</sup>.
- 3) Η μέση συγκέντρωση της αιμοσφαιρίνης (MCHC) είναι ο λόγος της HB/HT, εκφράζει την αναλογία της μάζας της αιμοσφαιρίνης προς τον όγκο των ερυθρών, με μονάδα μέτρησης gr/dl. Δείχνει την υποχρωμία πλέον αξιόπιστα, διότι δηλώνει το βαθμό κορεσμού του ερυθροκυττάρου<sup>11</sup>.
- 4) Εύρος κατανομής ερυθρών (RDW), δηλώνει το βαθμό απόκλισης του όγκου των ερυθρών από τη μέση τιμή αυτών. Εκφράζεται σε εκατοστιαία αναλογία και δείχνει την ανισοκυττάρωση.

Το τρίτο μέρος περιλαμβάνει:

- a) Τον αριθμό των αιμοπεταλίων (PLT) ανά κυβικό χιλιοστόμετρο (K/UL)
- β) Μέσο όγκο αιμοπεταλίων (MPV)
- γ) Αιμοπεταλοκρίτη (PCT)
- δ) Εύρος κατανομής αιμοπεταλίων (MPV)

Συχνά παρατηρούμε κωδικά σύμβολα δίπλα στα μεγέθη που δηλώνουν ποιοτικές ή ποσοτικές παρεκκλίσεις από τα όρια αναφοράς. Εκτός αυτών των παραμέτρων περιλαμβάνονται γραφικές παραστάσεις διαφόρων ειδών, ανάλογα με τον αναλυτή (ιστογράμματα) που δείχνουν το είδος του πληθυσμού και τον αριθμό των κυττάρων που περιέχονται στο αίμα.

Παρατηρώντας το διάγραμμα 1, βλέπουμε δεξιά του αριθμού των λευκών και του διαφορικού λευκοκυτταρικού τύπου γραφικές παραστάσεις **A** και **B** που αφορούν τον

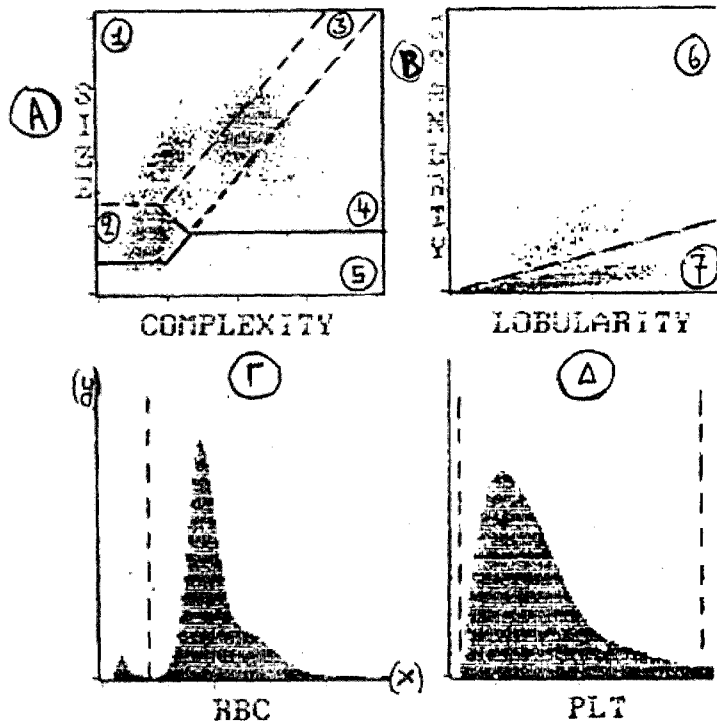
## ΔΙΑΓΡΑΜΜΑ 1

WBC 4.99 K/uL  
NEU 2.53 50.7 %N  
LYM 1.86 37.3 %L  
MONO .437 8.75 %M  
EOS .128 2.56 %E  
BASO .035 .709 %B

RBC 4.37 M/uL  
HGB 12.4 g/dL  
HCT 38.3 %  
MCV 87.8 fL  
MCH 28.4 pg  
MCHC 32.4 g/dL  
RDW 14.3 %

PLT 278. K/uL  
MPV 8.92 fL  
PCT .248 %  
PDW 18.0 10(650)

PATIENT LIMITS SET 1  
WBC 4.68-10.2 RBC 4.04-6.15 PLT 142.-424.  
NEU 2.00-6.50 37.0-80.0 %N HGB 12.2-18.1 MPV 8.00-99.9  
LYM 1.00-3.40 10.0-50.0 %L HCT 37.7-53.7 PCT 0.00-1.99  
MONO 0.00-.500 0.00-12.0 %M RCV 89.0-97.0 RDW 9.00-99.9  
EOS 0.00-.700 0.00-7.00 %E MCH 27.0-31.2  
BASO 0.00-.200 0.00-2.50 %B MCHC 31.0-35.4  
RDW 11.6-14.8



MANUAL DIFFERENTIAL		RBC MORPHOLOGY	
NEU	NEUT	NORMAL	PIGMENT
mono	MONO	PLICHROM	ACACIO
LYMPH	PRO	HYPCHROM	ANISO
MONO	ELAST	POIK	BASOSTIP
EOSIN	VAR LYM	TARGET	
BASO	TOXGRAN	SPIKERO	NRBC
COMMENT:			
SIGNED BY		DATE	

πληθυσμό των λευκών αιμοσφαιρίων. Το είδος του πληθυσμού των λευκών αιμοσφαιρίων γίνεται αντιληπτό, εάν χωρίσουμε νοητικά την επιφάνεια της γραφικής παράστασης (Α) σε υποσύνολα. Έτσι:

Το υποσύνολο υπ' αρ. 1, περιέχει τα μεγάλα μονοπύρηνα.

Το υποσύνολο υπ' αρ. 2, περιέχει τα λεμφοκύτταρα.

Το υποσύνολο υπ' αρ. 3, περιέχει πολυμορφοπύρηνα ουδετερόφιλα.

Το υποσύνολο υπ' αρ. 4, περιέχει τα πολυμορφοπύρηνα ηωσινόφιλα.

Το υποσύνολο υπ' αρ. 5, περιέχει ερυθροβλάστες.

Όσο περισσότερο διακριτές μεταξύ τους είναι οι πλη-

θυσμιακές ομάδες, τόσο περισσότερο μορφολογικά ομοιόμορφα κύτταρα περιλαμβάνουν. Αντιθέτως όσο εντονότερα επικαλύπτει η μία ομάδα την άλλη, τόσο αυξάνεται η μορφολογική ανομοιομορφία των κυττάρων που περιλαμβάνονται στη μέτρηση. Ο αριθμός των κυττάρων αποτυπώνεται στη γραφική παράσταση ως χρωματική πυκνότητα. Το πλέον έντονο μαύρο χρώμα δηλώνει μεγαλύτερο αριθμό κυττάρων σε σχέση με ένα λιγότερο έντονο.

Η δεύτερη γραφική παράσταση (Β) χωρίζεται σε δύο υποσύνολα. Το υποσύνολο υπ' αρ. 6, περιέχει αποκλειστικά πολυμορφοπύρηνα ηωσινόφιλα.

Το υποσύνολο υπ' αρ. 7, περιέχει όλους τους πληθυσμούς (πλην ηωσινόφιλων), που περιλαμβάνονται στη μέ-

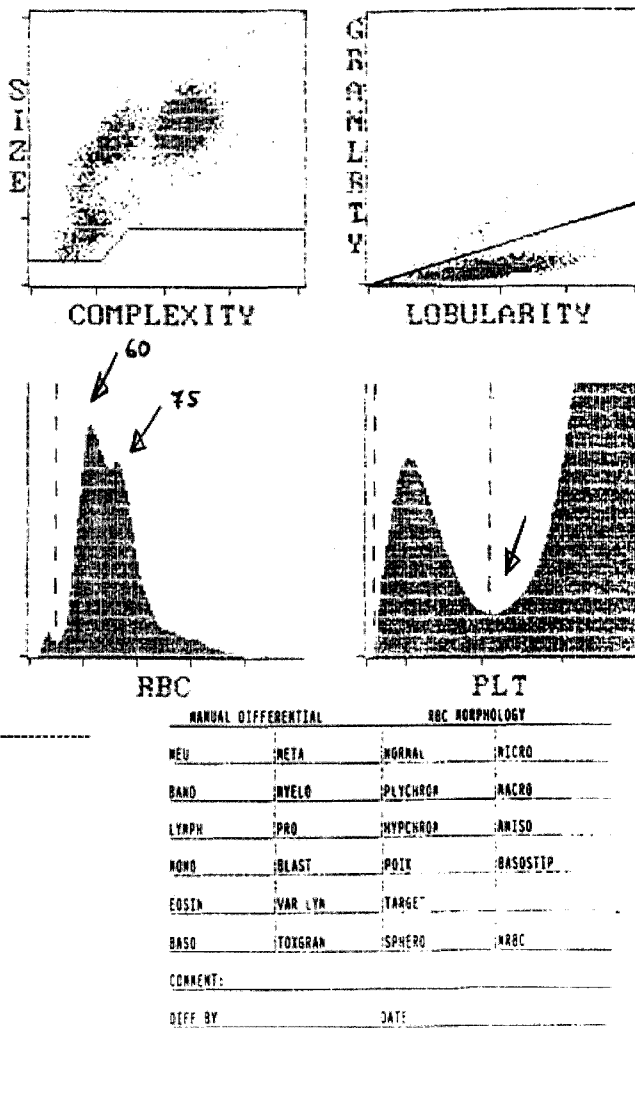
## ΔΙΑΓΡΑΜΜΑ 2

WBC 7.68 K/uL  
NEU 6.04 78.7 %N  
LYM .697 9.08 %L  
ONO .886 11.5 %M  
EOS .033 .432 %E  
ASO .019 .251 %B

RBC 3.98 M/uL  
HGB 7.68 g/dL  
HCT 25.6 %  
MCV 64.3 fL  
MCH 19.3 pg  
CHC 30.0 g/dL  
RDW 40.9 %

PLT 242. K/uL  
MPV 8.48 fL  
PCT .205 %  
PDW 17.2 10 (GSO)

## RBC MORPH



τρηση.

Η τρίτη γραφική παράσταση ( $\Gamma$ ), αφορά τον πληθυσμό των ερυθρών αιμοσφαιρίων και η τέταρτη γραφική παράσταση ( $\Delta$ ), αφορά τον πληθυσμό των αιμοπεταλίων.

Η ερμηνεία τους είναι απλούστερη επειδή αποτελούν σύστημα καρτεσιανών συντεταγμένων, όταν ο μεν άξονας των ( $X$ ) εκφράζει όγκο σε (fL) ( $1\text{fL} = 10^{15}$ ), ο δε άξονας των ( $\Psi$ ) εκφράζει ποσότητα (αριθμό κυττάρων).

Επομένως κάθε μονάδα όγκου του άξονα των ( $X$ ), ιχνογραφείται έως μίας τιμής του άξονα των ( $\Psi$ ), που αποτελεί συνάρτηση (όχι ευθεία) του αριθμού των κυττάρων του συγκεκριμένου όγκου. Όταν ενωθούν οι τιμές του άξονα των ( $\Psi$ ) μεταξύ τους, σε όλη την έκταση του άξον-

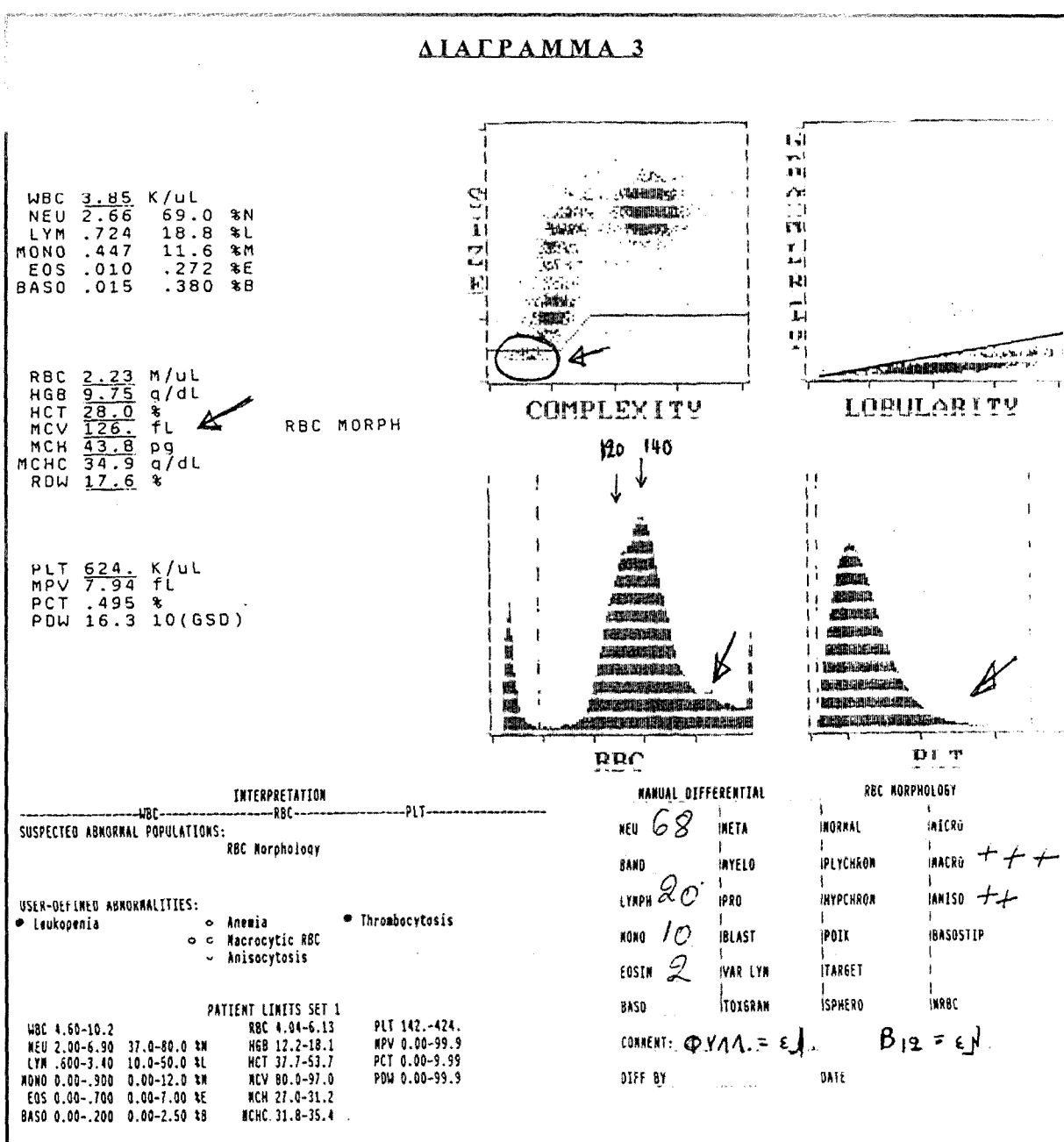
να των ( $X$ ), η ψηφιακή αποτύπωση της γραφικής παράστασης, μετατρέπεται σε αναλογική.

Έτσι όσο μικρότερη έκταση κατά τον άξονα των ( $X$ ), καταλαμβάνει το γράφημα, τόσο μικρότερη η διαφορά όγκου του πληθυσμού των ερυθρών (ή των αιμοπεταλίων).

Η ύπαρξη δύο διακριτών, από άποψη όγκου πληθυσμών ερυθρών, στο εξεταζόμενο δείγμα (π.χ. σιδηροπενία υπό θεραπεία) αποτυπώνεται στο γράφημα, με το σχηματισμό δύο κορυφών ικανής απόστασης η μία από την άλλη.

Στα παραδείγματα που ακολουθούν θα δείξουμε πως εκτιμούμε στοιχειωδώς τα μεγέθη και πώς οδηγούμεθα σε κάποιες κατευθύνσεις για περαιτέρω διερεύνηση του ασθενή<sup>1,4</sup>:

## ΔΙΑΓΡΑΜΜΑ 3



## Παράδειγμα 1ο: (Διάγραμμα 2)

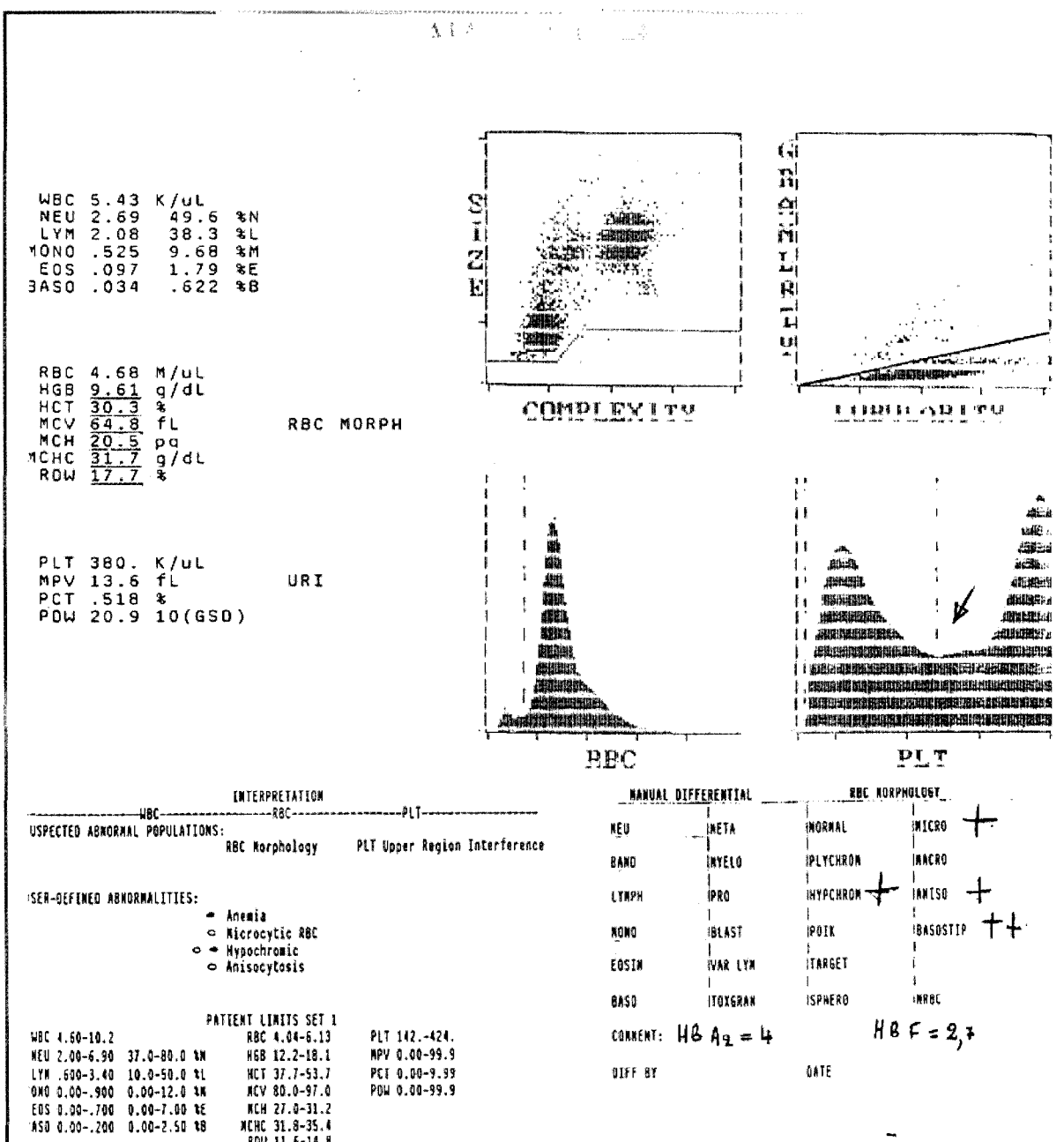
Στο παράδειγμα ο αριθμός των λευκών είναι εντός φυσιολογικών ορίων με πολυμορφοπυρήνωση (78%). Παρατηρούμε σχετικά χαμηλό αριθμό ερυθρών αιμοσφαιρίων με χαμηλή αιμοσφαιρίνη και αιματοκρίτη που φανερώνουν αναιμία. Από την παράμετρο MCV υποδηλώνεται μικροκυττάρωση σημαντική και από τις MCH, MCHC και RDW έντονη υποχρωμία και ανισοκυττάρωση. Το συγκεκριμένο στογράμμα των ερυθρών παρουσιάζει διπλή κορυφή, που σημαίνει δύο διακριτούς πληθυσμούς από άποψη μεγέθους (γι' αυτό υπάρχει και το πολύ υψηλό RDW). Η μικροσκοπική εξέταση επιβεβαίωσε τις ενδείξεις.

Ο προσδιορισμός του FE και FERRITINE, έδειξε χαμηλές

τιμές (40% και 40 NGR/ML αντίστοιχα), ενώ ο αριθμός των ΔΕΚ βρέθηκε αυξημένος. Τα παραπάνω στοιχεία βεβαιώνουν τη διάγνωση της σιδηροπενικής αναιμίας, ενώ η διπλή κορυφή, το πολύ υψηλό RDW και ο αυξημένος αριθμός ΔΕΚ βεβαιώνουν την ανταπόκριση στη θεραπεία με σιδηρο.

## Παράδειγμα 2ο: (Διάγραμμα 3)

Στο παράδειγμα αυτό παρατηρείται χαμηλός αριθμός λευκών αιμοσφαιρίων με πολυμορφοπυρήνωση (68%). Παρατηρείται χαμηλός αριθμός ερυθρών αιμοσφαιρίων και αιματοκρίτης, ενώ η παράμετρος MCV είναι σημαντικά αυξημένη (μακροκυττάρωση) καθώς και οι MCH, MCHC, RDW είναι αυξημένες. Επίσης παρατηρείται θρομβοκυττάρωση.



Από τη μικροσκοπική εξέταση του αίματος, επιβεβαιώθηκαν τα παραπάνω ευρήματα, ενώ βρέθηκαν ακόμη πολυμορφοπύρηνα με υπερπολύτημτο πυρήνα, εικόνα που παρατηρείται στη μεγαλοβλαστική αναιμία. Οι χαμηλές τιμές του φυλλικού οξεούς και  $B_{12}$  επιβεβαίωσαν τη διάγνωση.

### Παράδειγμα 3ο: (Διάγραμμα 4)

Στο παράδειγμα αυτό δεν φαίνονται αποκλίσεις από τα λευκά αιμοσφαίρια. Παρατηρούμε όμως χαμηλό αιματοκρίτη και αιμοσφαιρίνη με μεγάλο αριθμό ερυθρών αιμοσφαιρίων.

Η παράμετρος MCV είναι χαμηλή (64,8%) (έντονη μικροκυττάρωση), όπως η MCH και MCHC (υποχρωμία), ενώ

είναι ελαφρώς υψηλό το RDW (ήπια ανισοκύττωση). Ο αριθμός των αιμοπεταλίων είναι φυσιολογικός, υπάρχει όμως επικάλυψη από μικρού μεγέθους ερυθρά, όπως δείχνει η σήμανση από τον αναλυτή.

Τα παραπάνω ευρήματα μας οδηγούν στη σκέψη της ετερόζυγης Β-Μεσογειακής αναιμίας, ιδίως η μικρή αύξηση του RDW σε συνδυασμό με τη μεγάλη πτώση της τιμής του MCV. Αυτό το χαρακτηριστικό μπορεί μάλιστα να χρησιμοποιηθεί προς διάκριση της Β - Μεσογειακής από τη σιδηροπενική αναιμία, όπου υπάρχει σχετικά χαμηλό MCV ενώ είναι πολύ αυξημένο το RDW.

Η μικροσκοπική εξέταση και η ηλεκτροφόρηση της αιμοσφαιρίνης, επιβεβαίωσαν τα ευρήματα.

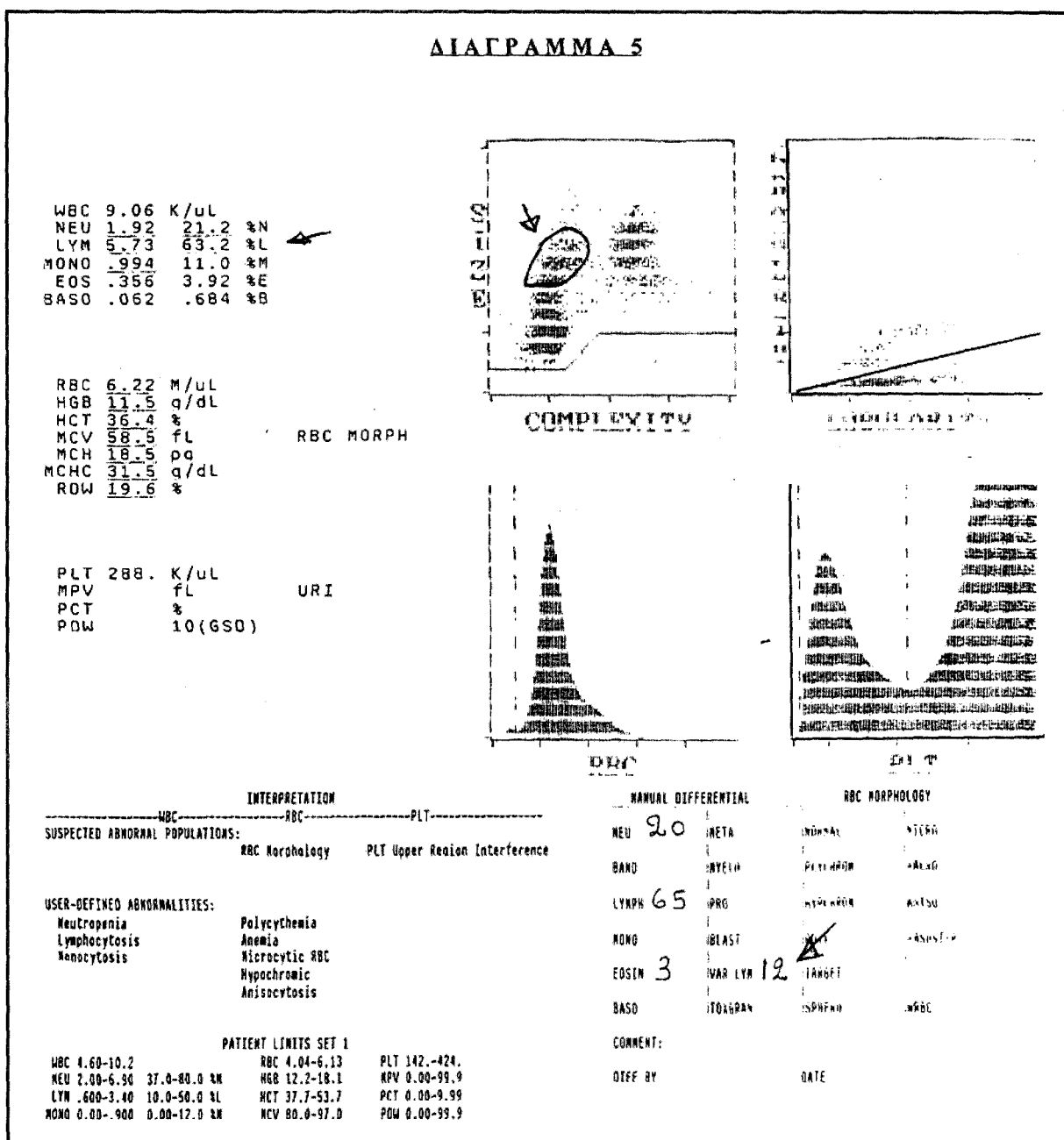
ΑΣΚΛΗΠΙΕΙΑΚΑ ΧΡΟΝΙΚΑ

**Παράδειγμα 4ο: (Διάγραμμα 5)**

Στο παράδειγμα αυτό ο αριθμός των λευκών αιμοσφαιρίων είναι εντός φυσιολογικών ορίων, όμως παρατηρείται σαφής λεμφοκυττάρωση και κατά εκατοσταία αναλογία αλλά και κατά αιγάλευτο αριθμό. Αναφέρονται έντεκα (11) μονοπύρηνα. Στο ιστόγραμμα παρατηρείται ενοποίηση των πληθυσμών των μονοκυττάρων και λεμφοκυττάρων, δεν υπάρχει δηλαδή καθαρή επιφάνεια μεταξύ των δύο πληθυσμών. Η παρατήρηση μας οδηγεί στη σκέψη της παρουσίας λεμφοκυττάρων και μονοπύρηνων της λοιμώδους μονοπυρήνωσης. Θα ήταν δυνατόν να σκεφθούμε την παρουσία βλαστών, όμως δεν υπάρχει κάποια σήμανση από τον αναλυτή.

Από τον πληθυσμό των ερυθρών αιμοσφαιρίων, υπάρχει μεγάλος αριθμός ερυθρών αιμοσφαιρίων με χαμηλό αιματοκρίτη και αιμοσφαιρίνη, πολύ χαμηλό MCV (μικροκυττάρωση), υποχρωμία (χαμηλά MCH - MCHC) και ανισοκύττωση (RDW πολύ υψηλό). Ο αριθμός των αιμοπεταλίων είναι εντός των φυσιολογικών ορίων, ενώ υπάρχει όπως φαίνεται και στο ιστόγραμμα των αιμοπεταλίων, επικάλυψη από μικρά ερυθρά αιμοσφαιρία, κάτι που επισημαίνεται από τον αναλυτή.

Η μικροσκοπική εξέταση του αίματος, έδειξε την παρουσία κυττάρων λοιμώδους μονοπυρήνωσης, ενώ το MO-NO-TEST ήταν θετικό. Συνυπήρχε και σιδηροπενική αναιμία.



**Παράδειγμα 5ο: (Διάγραμμα 6).**

Στο παράδειγμα αυτό από τον πληθυσμό των λευκών αιμοσφαιρίων, παρατηρείται μεγάλη λευκοκυττάρωση – λευμφοκυττάρωση – μονοπυρήνωση – βασεοφιλία, κατ' αναλογία εκατοστιαία και κατ' απόλυτο αριθμό και παράλληλα σήμανση από τον αναλυτή για παρουσία βλαστών (VLYM/BLAST) καθώς και αδυναμία διάκρισης μεταξύ λευμφοκυττάρων και μονοπύρηνων (DFLT).

Στο ιστόγραμμα των λευκών βλέπουμε ενιαία κατανομή λευμφοκυττάρων – μονοπύρηνων – βασεοφιλών.

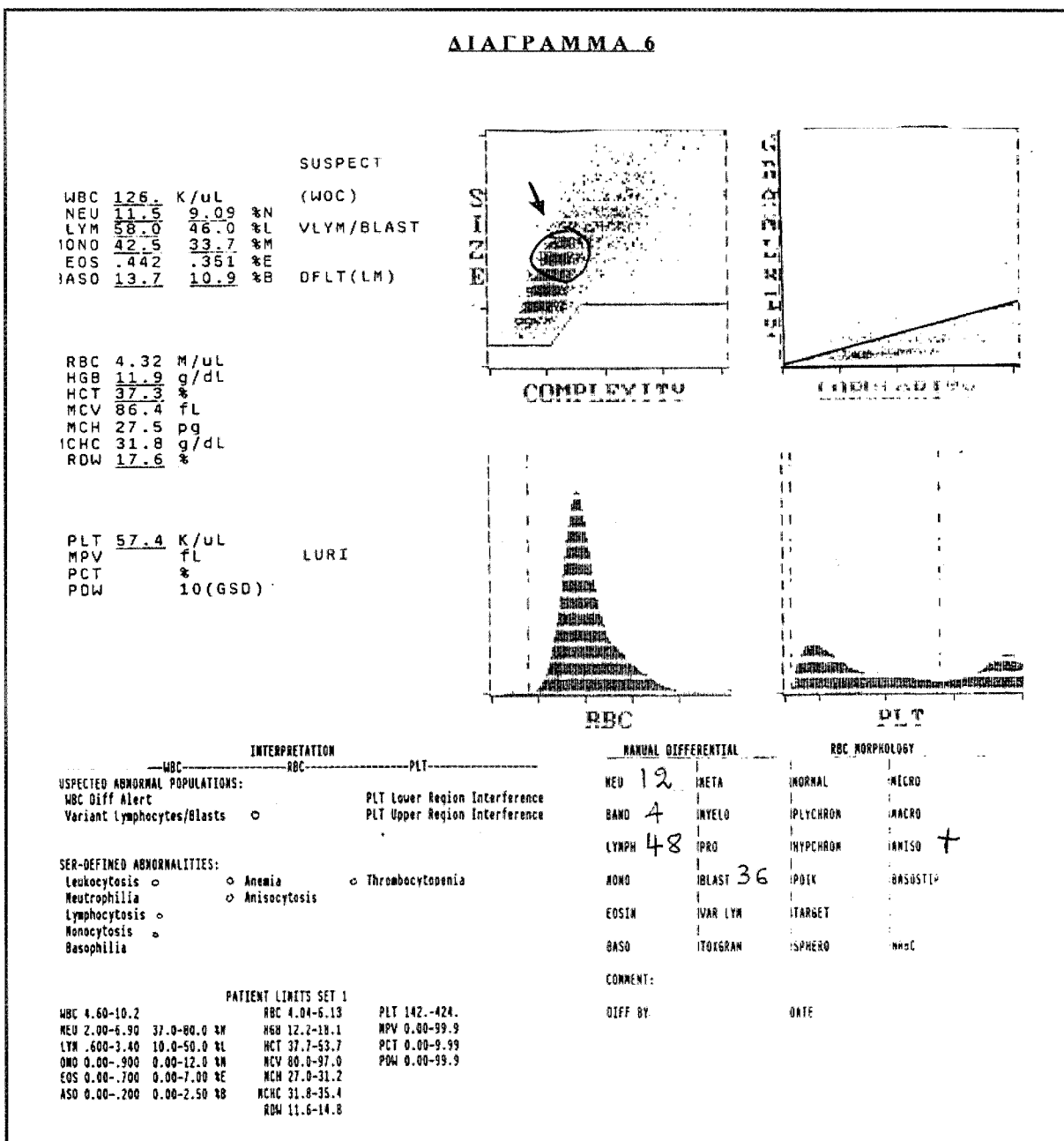
Από τον πληθυσμό των ερυθρών αιμοσφαιρίων παρατηρείται ανισοκύττωση (υψηλό RDW), ενώ από τα αιμοπετάλια μεγάλη θρομβοπενία.

Η μικροσκοπική εξέταση του αίματος επιβεβαίωσε τις υποψίες για παρουσία βλαστών και την πιθανότητα οξείας λεμφοβλαστικής αναιμίας.

**Παράδειγμα 6ο: (Διάγραμμα 7)**

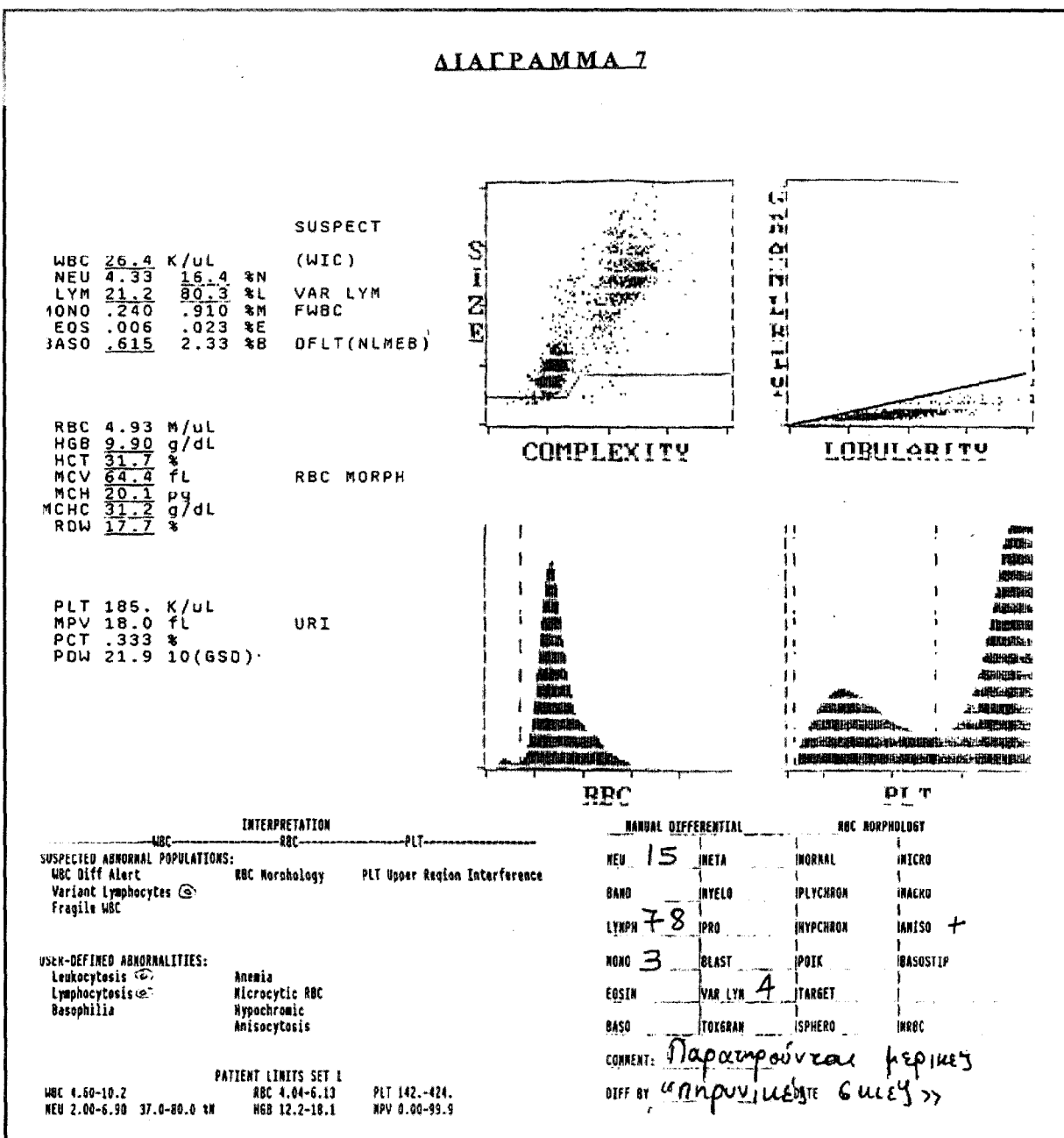
Στο παράδειγμα αυτό από τον πληθυσμό των λευκών αιμοσφαιρίων υπάρχει λευκοκυττάρωση με έντονη λευμφοκυττάρωση, τόσο κατά εκατοστιαία αναλογία όσο και κατ' απόλυτο αριθμό. Σημαίνεται από τον αναλυτή αδυναμία διάκρισης λευκών καθώς και παρουσία άτυπων λευμφοκυττάρων. Στο ιστόγραμμα των λευκών αιμοσφαιρίων υπάρχει σαφής διάκριση του πληθυσμού των λευμφοκυττάρων.

Από τον πληθυσμό των ερυθρών αιμοσφαιρίων παρα-

**ΔΙΑΓΡΑΜΜΑ 6**

ΑΣΚΛΗΠΙΕΙΑΚΑ ΧΡΟΝΙΚΑ

ΔΙΑΓΡΑΜΜΑ 7



πρείται αναιμία – υποχρωμία – μικροκυττάρωση – ανισοκύττωση.

Η μικροσκοπική εξέταση του αίματος έδειξε λεμφοκυττάρωση, αρκετά προλεμφοκύτταρα και πολλές πυρηνικές σκιές. Πιθανή διάγνωση, χρόνια λεμφογενής λευχαιμία. Από τον πληθυσμό των αιμοπεταλίων σημαίνεται η επικάλυψη με μικρά ερυθρά.

Παράδειγμα 7ο: (Διάγραμμα 8)

Στο παράδειγμα αυτό από τον πληθυσμό των λευκών, παρατηρείται λευκοκυττάρωση με ουδετεροφιλία και σήμανση και άωρα κύτταρα – ραβδοπύρηνα (IG/BAND) – μονοπυρήνωση.

Από τον πληθυσμό των ερυθρών, φαίνεται ήπια υποχρωμία και ανισοκύττωση ενώ τα αιμοπετάλια είναι εντός φυσιολογικών ορίων.

Στο ιστόγραμμα των λευκών φαίνεται ενιαία η κατανομή των πληθυσμών, χωρίς καθόλου όρια μεταξύ τους, που καταλαμβάνουν όλη την επιφάνεια του γραφήματος. Η μικροσκοπική εξέταση επιβεβαίωσε τις ενδείξεις.

Παρετηρήθη όλη η σειρά εξέλιξης της κοκκιώδους σειράς, από το στάδιο της μυελοβλάστης έως το ώριμο πολυμορφοπύρηνο. Πιθανή διάγνωση, χρόνια μυελογενής λευχαιμία.

Η εξέλιξη της τεχνολογίας είναι μεγάλη και ήδη παραδόθηκαν στην κυκλοφορία αιματολογικοί αναλυτές με

περισσότερες δυνατότητες όπως η μέτρηση του αριθμού των ΔΕΚ αλλά και ο δείκτης ωριμότητάς τους.

Παρά το γεγονός ότι το μικροσκόπιο αποτελεί ανατικατάστατο εργαλείο κυτταρομορφολογικής μελέτης των έμμορφων στοιχείων του αίματος, στα χέρια του γιατρού οι αναλυτές κερδίζουν έδαφος στην εξαγωγή του διαφορικού λευκοκυτταρικού τύπου.

Από τους αναλυτές που αρχικά έδιναν τρεις πληθυσμούς (πολυμορφοπόρηνα – λεμφοκύτταρα – μονοκύτταρα), με μονοπαραμετρική ανάλυση, σήμερα προσδιορίζονται και οι πέντε πληθυσμοί με πολυπαραμετρική ανάλυση (επιπλέον ηωσινόφιλα – βασεόφιλα). Λόγω δε και της καλύτερης διακριτικής ικανότητάς τους ορισμένοι αναλυτές

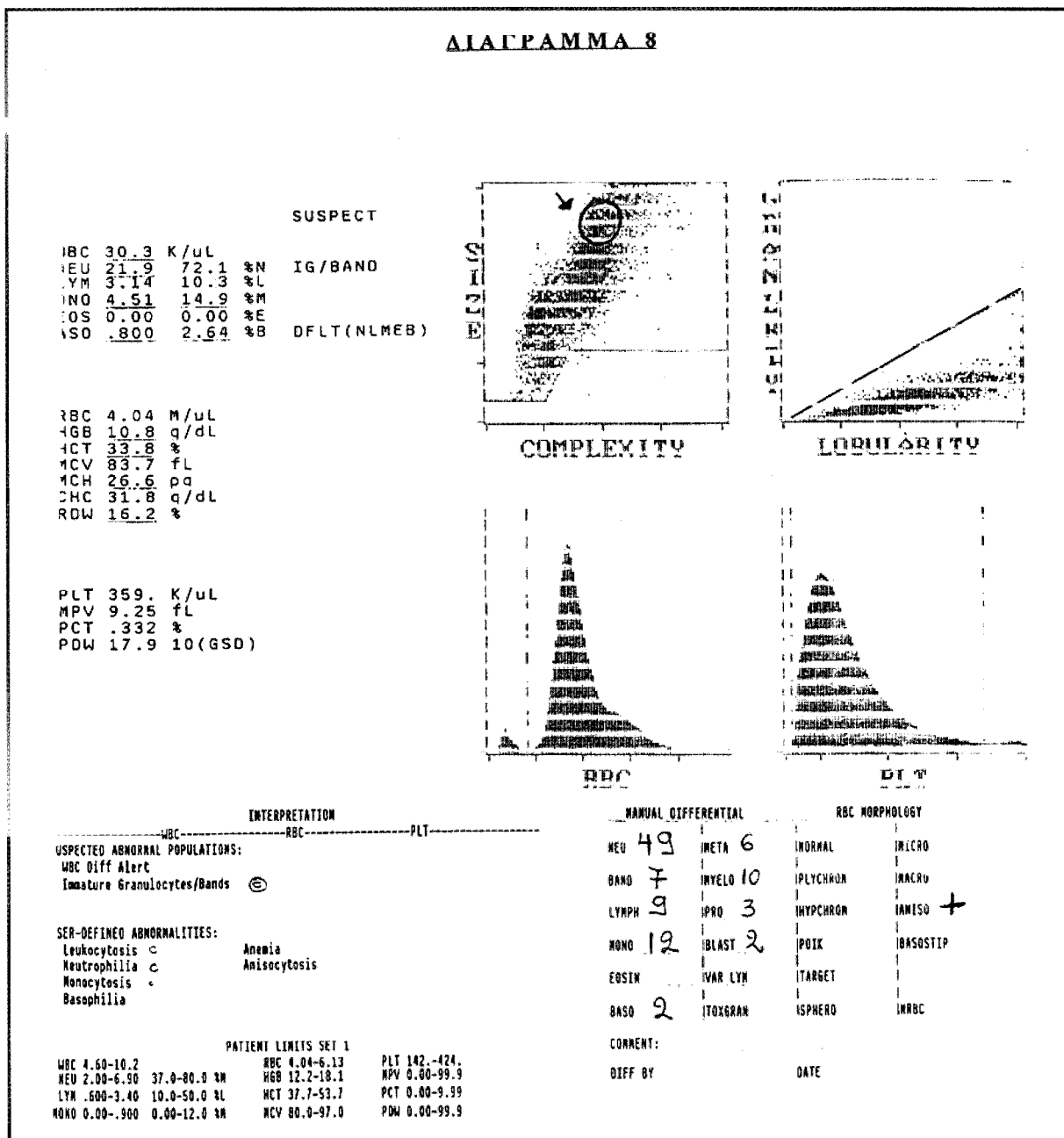
αναγνωρίζουν άωρα και άτυπα κύτταρα της λευκής σειράς.

Την τελευταία δεκαετία, τα καινούργια δεδομένα στη χημεία των χρωστικών φθορισμού και η ανακάλυψη των μονοκλωνικών αντισωμάτων, άνοιξε τον δρόμο στη σύγχρονη κυτταρομετρία ροής, με την οποία πάρονται πληροφορίες για σειρά δομικών και λειτουργικών παραμέτρων σ' ένα κύτταρο, διευρύνοντας έτσι το πεδίο των κλινικών εφαρμογών.

## ΒΙΒΛΙΟΓΡΑΦΙΑ

1. Abbot diagnostics division: Cell – Dyn Maps Laser Differential. An eye to the future. 1993.

### ΔΙΑΓΡΑΜΜΑ 8



2. Βόργια Ν. Ι., Λαουτάρη Ν.Π.: Αιματολογία, 1991.
3. Γαρδίκα Κ. Δ.: Αιματολογία, 1989.
4. Coulter: Βιβλίο κλινικών εφάρμογών, 1984.
5. Dacie Sir J. V., Lewis S. M.: Practical haematology, 1986.
6. Hoffbrand A. Y., Pettit J. E.: Essential haematology.
7. Μελέτης Τ. Χ.: Από το αιματολογικό εύρημα στη διάγνωση.
8. Πατεράκη Γ. Σ.: Κατ' οίκον ανάλυση των σωματιδίων του αίματος με ηλεκτρονικό υπολογιστή, 1984.
9. Πατεράκη Γ. Σ.: Αυτοματισμός στο αιματολογικό εργαστήριο, 1991.
10. Τσεβρένη Ιπ. Π.: Κλινική αιματολογία, 1984.
11. Ηλιόπουλος Γ.: Φυσιολογία και Φυσιοπαθολογία του αίματος και των αιμοποιητικών οργάνων, 1999.

### ΠΕΡΙΛΗΨΗ

*Αξιολόγηση αιματολογικών παραμέτρων και διαγνωστική σημασία αυτών*

Αυτοματοποιημένα συστήματα μέτρησης και διάκρισης των υποπληθυσμών των κυττάρων του αίματος ευρίσκονται πλέον σε καθημερινή χρήση.

Στοιχεία τα οποία περιλαμβάνουν, αριθμητικές τιμές, γραφήματα, κωδικοποιημένα μηνύματα συναγερμού, παρέ-

χονται για κάθε δείγμα που εξετάζεται και βοηθούν σημαντικά τον κλινικό ιατρό στη διάγνωση και παρακολούθηση της θεραπευτικής αγωγής.

Η αναφορά που ακολουθεί συγκροτήθηκε έχοντας στόχο την παροχή μίας διαδικασίας ερμηνείας των στοιχείων σε πρακτικό επίπεδο.

Πρέπει να σημειωθεί ότι τα αναφερόμενα παραδείγματα και η διερεύνηση των στοιχείων που περιλαμβάνουν δεν εγγυώνται σε οποιαδήποτε περίπτωση την ακριβή διάγνωση.

**Λέξεις κλειδιά:** Αυτοματοποιημένα συστήματα μέτρησης, αιματολογικοί παράμετροι.

### SUMMARY

*Validation and diagnostic importance of parameters in the measurement and differential examination of blood cells.*

Commercial devices that measure blood cells and automate the differential of the main white blood cell subtypes, are in everyday use.

Output data including, numeric results, graphic data (scatter plots), specimen flag messages, provided for each specimen run, are of great help to the physician aiding diagnosis and monitoring therapy.

The following report has been made having in mind the provision of a working understanding of the above output data.

